

九州大学 工学部 正員 横東一郎
 九州大学 工学部 正員 小松利光
 九州大学 工学部 正員 ○後藤俊一

1. まえがき

乱流が從来から言われていたような統計的にランダムな渦だけの集合ではなく、規則性をもったスケールの大きい渦運動からも構成されていることが注目されはじめ以来、境界層乱流・自由乱流・混合層流における組織渦について種々の立場から研究が行なわれてきた。しかしながら組織渦に伴なう乱流特性・周囲水の混入量及び運動量や物質の拡散に果たす組織渦の役割についてはまだ明らかではない。今回著者らは、2次元鉛直噴流及び浮力プルームについて実験を行ない、組織渦の特性と連続メカニズムに関する若干の知見を得たので報告する。

2. 実験装置及び方法

実験に用いた水槽は長さ2m、深さ1.3m、幅20cmの前面アクリル製水槽で、淡水中に幅 $B_0=0.5, 2, 5\text{cm}$ のスリットから淡水及び塩水を下方に噴出させて行なった。測定は2方向V型hot-film流速計を2個結合して3方向流速 U, V, W を、また塩分濃度計及び差圧計を用いて塩分濃度と圧力をほぼ同一点・同時測定した。一方組織渦の動きを追うため、VTR装置とモータードライブカメラによる連続写真撮影により可視化測定を行なった。表-1に実験

条件を示す。なお $Frou = \frac{U}{\sqrt{gB}}$ で定義される内部Froude数である。 $(\delta = \frac{\Delta\rho}{\rho})$

3. 実験結果とその考察

hot-film流速計より得られた流速変動データにローパスフィルターをかけて高周波成分を除去し、組織渦の通過に伴なう大きな流速変動のみを記録したものと図-1に示す。渦の周期 T として変動のピーケーからピーケーまでの時間の平均値を求めた。 T の無次元表示であるストローハル数 $S_T (= \delta/U_0 T)$ と噴出口からの距離 X との関係を図-2に示す。均一噴流であるRUN 5は X の増加と共に S_T 数を一様に増加していくが、浮力をもつ場合はいずれも最終的には $S_T=0.1$ に収束しており、plumeの確立した特性を示している。plume like flowでは $S_T = \text{const.}$ となることから $\delta \propto T$ となり、渦流幅と組織渦の周期の間に比例関係が存在することになる。

次に図-3に示すように、渦流幅のふくらみが極大値を持つ点Mの主流方向の移動速度を渦速 V_0 、相隣するM点の間の距離をX方向の渦径 L_x とそれと定義すると、数多くの連続写真から噴出口からの距離に対するこれらの諸量が求められる。図-4に L_x, δ , 及び L_x, V_0 の流れ方向の変化を示す。これより $L_x = 2.15\delta$

| RUN No. | Q_{in} cm^3/s | $\frac{\Delta\rho}{\rho}$ | B_0 cm | U_0 cm/s | $Frou$ |
|---------|------------------------------------|---------------------------|----------------------|------------------------|--------|
| 1 | 53.9 | 0.0098 | 0.5 | 10.80 | 4.93 |
| 2 | 95.9 | 0.0098 | 5 | 1.92 | 0.277 |
| 3 | 124.1 | 0.0070 | 2 | 6.20 | 1.67 |
| 4 | 120.7 | 0.0125 | 0.5 | 24.13 | 9.75 |
| 5 | 106.7 | 0 | 0.5 | 21.34 | 00 |
| 6 | 108.1 | 0.0125 | 5 | 2.16 | 0.276 |

表-1 実験条件

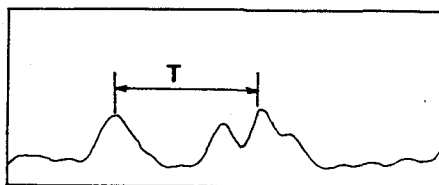
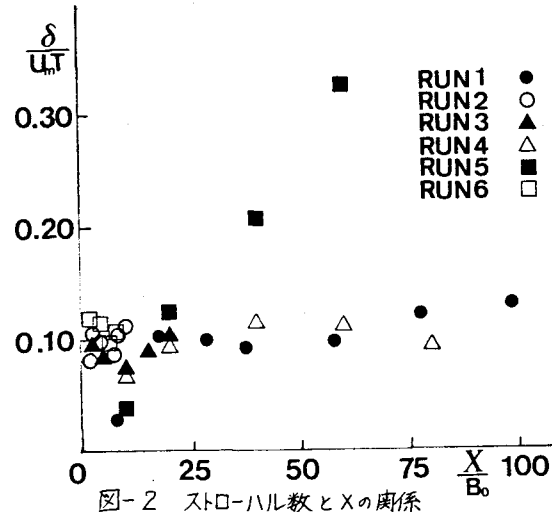


図-1 流速変動記録



が得られ興味深い。また渦同士の合体及び周囲水の連行により、 L_x は流下方向に増大し、 V_v は減少している。 L_x と V_v より得られる渦の周期を T_s (= L_x/V_v)とする。一方、周囲水に注入されたトレーサーが噴流に巻き込まれる時間間隔 T_d をVTRにより測定した。表-2に T_s と T_d の比較を示す。右と左は大きく異なっており、連行現象が必ずしも交互に左右に配置された組織渦のpairにより引き起こされるものではないということを示している。

4. 連行メカニズム

噴流及びplumeでは、組織渦はそれぞれ両側に交互に逆方向に回転しており、その間に主流が流下している。図-5(a)では①と②、(b)では③と④で主流と渦に挟み込まれるような形で連行が生じている。(a)図では渦(I)と主流により②で連行が生じるが、同時に主流により渦(II)は渦度を増大させている。この後、渦(I)は連行により渦度を消耗し(b)図のように外側に押しのけられて下降速度が減少し、渦と渦の角度も大きくなりもはや連行を維持できなくなる。一方主流によって成長した渦(II)は(b)図に示すように新たに主流と共に連行を引き起こす。このとき主流により渦(I)、(III)は渦度を新しく与えられるが、②と③の高さが接近するため渦により生じる流れの向きが②において渦(I)と逆になり、この時点では②において連行は生じない。このように組織渦は合体及び主流により成長し、主流と共に連行を引き起こした後衰弱するという過程を繰り返しながら流下している。したがって連行が起こっているのは左右どちらか一方でそれが交互に起こっているのである。先の T_s/T_d の値が1.4~1.8倍程度になったのは以上の理由によるものであろう。

同一点・同時刻度を行なった変動記録にコーパスフィルターをかけたものを図-6に示す。これによるとびひどい負の相関が強いが若干位相のずれがありびが早い。一方、 ρ と v の間にも負の相関があり位相は ρ が早くなっている。このことから圧力が下がるとそこに連行が起こり、周囲水が巻き込まれて濃度が小さくなる。また b と v の間には正の相関がみられるが、これは密度が大きい時には密度効果により流速が加速されることを意味している。最後に本研究遂行にあたり助を頼った西村恭君に深甚なる謝意を表します。

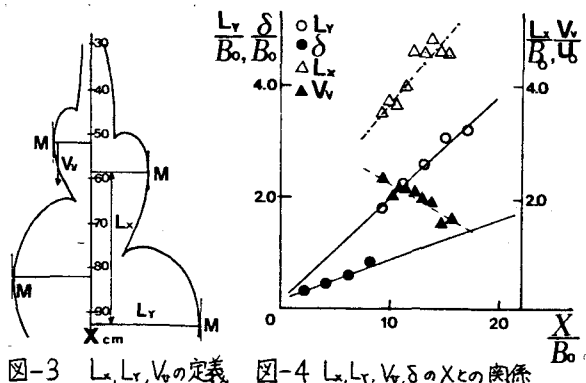
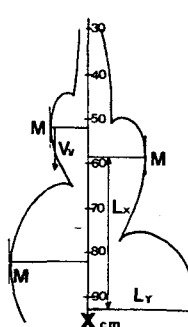


図-3 L_x, L_y, V_v の定義

図-4 L_x, L_y, V_v, δ の X との関係

| X cm | 4 0 | 5 0 | 6 0 | 7 0 |
|---------------|------|------|------|------|
| T_s (VIDEO) | 5.82 | 6.70 | 7.49 | 8.18 |
| T_d (SLIDE) | 3.13 | 3.80 | 4.63 | 5.69 |
| T_s/T_d | 1.86 | 1.76 | 1.62 | 1.44 |

表-2 T_s と T_d の比較

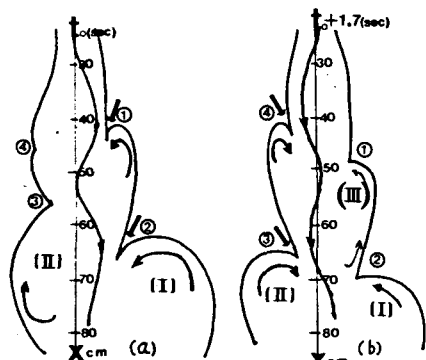


図-5 涡と主流による連行状況

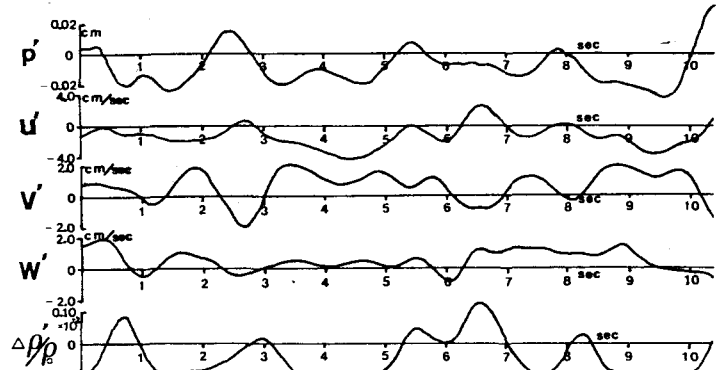


図-6 圧力・流速・濃度の変動記録